

Kompatibilitätsanalyse der T0-Dimensionsformulierungen

Vereinheitlichung von 4D-Torsionskristall und fraktaler Dimension

Dokumente 149, 018 und 145 im Vergleich

Analyse-Bericht

5. Februar 2026

Zusammenfassung

Diese Analyse untersucht die Kompatibilität der dimensionalen Beschreibungen in drei zentralen T0-Dokumenten: der 4-dimensionalen Torsionskristall-Formulierung (Dokumente 149 und 018) und der fraktalen Dimensionsformulierung $D_f = 3 - \xi$ (Dokument 145). Die zentrale Frage lautet: Sind diese Beschreibungen widersprüchlich oder komplementär? Die Analyse zeigt: **Die Formulierungen sind vollständig kompatibel** und beschreiben dasselbe physikalische Phänomen aus zwei komplementären Perspektiven – einer geometrisch-topologischen (4D-Torsionskristall) und einer fraktal-analytischen (effektive Dimension). Der fundamentale Parameter $\xi = 4/30000 = 1,333 \times 10^{-4}$ vereint beide Sichten: topologisch kodiert die 4 die Anzahl der fundamentalen Dimensionen, während fraktal der Faktor 4/3 die Kugelpackungsgeometrie beschreibt. Beide führen zu identischen experimentellen Vorhersagen.

Inhaltsverzeichnis

1	Einleitung: Die Fragestellung	1
1.1	Ausgangssituation	1
1.2	Zentrale Frage	2
1.3	Hauptergebnis	2
2	Dokumenten-Übersicht	2
2.1	Dokument 149: 149_FFGFT-torsion_De.pdf	2

2.1.1	Dimensionale Beschreibung	2
2.1.2	Mathematische Struktur	3
2.1.3	Energiebetrachtung	3
2.2	Dokument 018: 018_T0_Anomale-g2-10_De.pdf	3
2.2.1	Dimensionale Beschreibung	3
2.2.2	Physikalische Interpretation	4
2.3	Dokument 145: 145_FFGFT_donat-teil1_De.pdf	4
2.3.1	Dimensionale Beschreibung	4
2.3.2	Physikalische Bedeutung	4
2.3.3	Geometrische Herkunft	4
3	Mathematische Kompatibilität	5
3.1	Die Doppelbedeutung von $\xi = 4/30000$	5
3.1.1	Topologische Interpretation (Dokumente 149, 018)	5
3.1.2	Fraktale Interpretation (Dokument 145)	5
3.2	Mathematische Äquivalenz	5
4	Physikalische Vereinheitlichung	6
4.1	Kompaktifizierung als Brücke	6
4.2	Mathematische Formulierung	6
4.2.1	Kompaktifizierungsradius	6
4.2.2	Kaluza-Klein Reduktion	6
4.3	Gemeinsame Vorhersagen	7
5	Detaillierte Korrespondenzen	7
5.1	Energieverteilung	7
5.1.1	4D-Formulierung (Dokument 149)	7
5.1.2	Fraktale Formulierung (Dokument 145)	7
5.1.3	Verbindung	7
5.2	Symmetriebrechung	8
5.2.1	4D-Formulierung (Dokument 149)	8
5.2.2	Fraktale Formulierung (Dokument 145)	8
5.2.3	Äquivalenz	8
5.3	Sub-Planck-Struktur	8
5.3.1	4D-Formulierung (Dokument 149)	8
5.3.2	Fraktale Formulierung (Dokument 145)	8
5.3.3	Ergebnis	8
6	Klärung: Keine 5-Dimensionen	9
6.1	Häufiges Missverständnis	9
6.2	Die Rolle der pentagonalen Symmetrie	9
7	Experimentelle Konsequenzen	9
7.1	Identische Vorhersagen	9

7.1.1	Modifiziertes Coulomb-Gesetz (aus Dokument 145)	9
7.1.2	Anomale magnetische Momente (aus Dokumenten 018, 149)	10
7.1.3	Higgs-Vakuumerwartungswert (aus Dokument 149)	10
7.2	Unabhängigkeit von der Formulierung	10
8	Komplementarität der Perspektiven	10
8.1	Vorteile der 4D-Perspektive (Dokumente 149, 018)	10
8.2	Vorteile der fraktalen Perspektive (Dokument 145)	11
8.3	Empfehlung: Beide verwenden	11
9	Fazit	11
9.1	Schlüsselverbindung	12
9.2	Praktische Empfehlung	12

1 Einleitung: Die Fragestellung

1.1 Ausgangssituation

In der T0-Theorie (FFGFT – Fundamental Fractal Geometric Field Theory) existieren mehrere Dokumente, die scheinbar unterschiedliche dimensionale Beschreibungen der fundamentalen Raumzeitstruktur verwenden:

- **Dokument 149** (149_FFGFT-torsion_De.pdf): Beschreibt einen „vierdimensionalen Hirnwindungs-Torus“
- **Dokument 018** (018_T0_Anomale-g2-10_De.pdf): Verwendet ein „4-dimensionales Torsionsgitter“
- **Dokument 145** (145_FFGFT_donat-teil1_De.pdf): Definiert eine „fraktale Dimension $D_f = 3 - \xi$ “

1.2 Zentrale Frage

Kernfrage der Analyse

Sind die 4-dimensionale Formulierung (Dokumente 149, 018) und die fraktale Dimensionsformulierung $D_f = 3 - \xi$ (Dokument 145) miteinander kompatibel, oder beschreiben sie widersprüchliche physikalische Modelle?

1.3 Hauptergebnis

Zentrale Antwort

JA – Die Formulierungen sind vollständig kompatibel.

Sie beschreiben dasselbe physikalische Phänomen aus zwei komplementären Perspektiven:

- **Geometrische Perspektive** (149, 018): 4D-Torsionskristall mit kompaktifizierter 4. Dimension
- **Fraktale Perspektive** (145): Effektive Dimension $D_f = 3 - \xi$ als Resultat der Kompaktifizierung

Der Parameter $\xi = 4/30000$ vereint beide Sichten und führt zu identischen physikalischen Vorhersagen.

2 Dokumenten-Übersicht

2.1 Dokument 149: 149_FFGFT-torsion_De.pdf

2.1.1 Dimensionale Beschreibung

Dokument 149 postuliert explizit:

„Das Universum ist ein statischer **4-dimensionaler** Torsionskristall, dessen diskrete Sub-Planck-Struktur alle beobachtbaren physikalischen Phänomene erzeugt.“

Schlüsselmerkmale:

- Vierdimensionaler Hirnwindungs-Torus
- 3 räumliche Dimensionen + 1 kompaktifizierte zusätzliche Dimension
- Die 4. Dimension ist „aufgerollt“ und nicht direkt zugänglich
- Energieverteilung über f^4 (vierdimensionaler Hyperwürfel)

2.1.2 Mathematische Struktur

Die fundamentale Zahl 30000 wird interpretiert als:

$$30000 = 3 \times 4 \times 1000 \quad (1)$$

wobei:

- 3 = drei erfahrbare Raumdimensionen
- 4 = volle vierdimensionale Realität

- 1000 = Skalenhierarchie zwischen fundamental und beobachtbar
Daraus folgt:

$$\xi = \frac{4}{30000} = 1,333\bar{3} \times 10^{-4} \quad (2)$$

2.1.3 Energiebetrachtung

Die Planck-Energie verteilt sich über das vierdimensionale Gitter:

$$E_{\text{higgs}} = \frac{E_P}{f^4} \quad (3)$$

Narrative Erklärung: In vier Dimensionen enthält ein Hyperwürfel der Kantenlänge f genau f^4 Zellen. Die Energie verteilt sich gleichmäßig über alle diese Zellen.

2.2 Dokument 018: 018_T0_Anomale-g2-10_De.pdf

2.2.1 Dimensionale Beschreibung

Dokument 018 verwendet die identische Formulierung:

„Die T0-Theorie basiert auf dem Prinzip, dass **alle** physikalischen Konstanten aus der geometrischen Struktur eines **4-dimensionalen Torsionsgitters** folgen sollten.“

2.2.2 Physikalische Interpretation

Leptonen werden als Windungsstrukturen im 4D-Gitter interpretiert:

- **Elektron:** Einfache Windung (1. Generation)
- **Myon:** Windung mit fraktaler Verzweigung (2. Generation)
- **Tau:** Komplexere fraktale Struktur (3. Generation)

Die anomalen magnetischen Momente entstehen durch geometrische Projektionen dieser Windungen in den 3D-Raum.

2.3 Dokument 145: 145_FFGFT_donat-teil1_De.pdf

2.3.1 Dimensionale Beschreibung

Dokument 145 verwendet eine andere Sprache:

„Der zentrale Ausgangspunkt der Theorie ist die Beschreibung der Raumzeit durch eine **fraktale Dimension** D_f , die leicht unter der topologischen Dimension 3 liegt.“

Mathematisch:

$$D_f = 3 - \xi, \quad \text{mit} \quad \xi = \frac{4}{3} \times 10^{-4} \quad (4)$$

2.3.2 Physikalische Bedeutung

Interpretation der fraktalen Dimension:

- $D_f < 3$ bedeutet: Der Raum ist nicht „vollständig gefüllt“
- Es existiert eine Art „Porosität“ oder „Lückenhaftigkeit“
- Diese Lücken machen $\xi \approx 0,0001333$ der Dimensionalität aus

Skalierungsverhalten:

$$N(r) \propto r^{D_f} = r^{3-\xi} \quad (5)$$

Bei Vergrößerung der Auflösung um Faktor r steigt die Anzahl sichtbarer Strukturen mit $r^{(3-\xi)}$ anstatt r^3 .

2.3.3 Geometrische Herkunft

Der Faktor $4/3$ in $\xi = (4/3) \times 10^{-4}$ wird mit Kugelpackung assoziiert:

- Kugelvolumen: $V = \frac{4}{3}\pi r^3$
- Dichteste Kugelpackung: Packungsdichte $\approx 0,74$ ($\sim 26\%$ Lücken)

3 Mathematische Kompatibilität

3.1 Die Doppelbedeutung von $\xi = 4/30000$

Der fundamentale Parameter ξ trägt eine tiefe Doppelbedeutung, die beide Perspektiven vereint:

3.1.1 Topologische Interpretation (Dokumente 149, 018)

$$\xi = \frac{4}{30000} = \frac{4}{3 \times 4 \times 1000} \quad (6)$$

Bedeutung:

- 4 (Zähler) = Anzahl der fundamentalen Dimensionen

- 3 (Nenner) = Anzahl der beobachtbaren Dimensionen
- 4 (Nenner) = Wiederholung der fundamentalen Dimensionalität
- 1000 = Skalenhierarchie

3.1.2 Fraktale Interpretation (Dokument 145)

$$\xi = \frac{4}{3} \times 10^{-4} \quad (7)$$

Bedeutung:

- $\frac{4}{3}$ = Geometrischer Faktor (Kugelvolumen, Packungsdichte)
- 10^{-4} = Größenordnung der dimensionalen Abweichung
- $D_f = 3 - \xi$ = effektive fraktale Hausdorff-Dimension

3.2 Mathematische Äquivalenz

Numerische Identität

Beide Interpretationen führen zum identischen Zahlenwert:

$$\xi_{\text{topologisch}} = \frac{4}{30000} = 0,000133\bar{3} \quad (8)$$

$$\xi_{\text{fraktal}} = \frac{4}{3} \times 10^{-4} = 0,000133\bar{3} \quad (9)$$

Die Formulierungen sind mathematisch äquivalent!

4 Physikalische Vereinheitlichung

4.1 Kompaktifizierung als Brücke

Die Verbindung zwischen beiden Perspektiven wird durch das Konzept der **Kompaktifizierung** hergestellt:

Vereinheitlichende Sicht

Fundamentale Ebene:

4-dimensionaler Torsionskristall mit kompakter 4. Dimension

⇓ Kompaktifizierung auf Sub-Planck-Skala

Effektive Ebene:

3-dimensionaler Raum mit fraktaler Korrektur $D_{\text{eff}} = 3 - \xi$

↓ Observable Konsequenzen

Experimentelle Ebene:

~1–2% Abweichungen in Präzisionsmessungen

4.2 Mathematische Formulierung

4.2.1 Kompaktifizierungsradius

Die 4. Dimension ist auf einen Kreis kompaktifiziert:

$$r_4 = \xi \cdot \ell_P \approx 1,33 \times 10^{-4} \cdot 1,616 \times 10^{-35} \text{ m} \approx 2,15 \times 10^{-39} \text{ m} \quad (10)$$

Diese Skala ist **sub-Planck** und direkt nicht beobachtbar.

4.2.2 Kaluza-Klein Reduktion

Nach Dimensionsreduktion (Standard-Methode der Kaluza-Klein-Theorie) erscheint die kompakte Dimension als fraktale Korrektur:

$$D_{\text{eff}} = 3 + \left(\frac{r_4}{\ell_{\text{typical}}} \right)^{D_f - 3} \approx 3 - \xi \quad \text{für} \quad \ell_{\text{typical}} \gg r_4 \quad (11)$$

Interpretation: Die kompakte 4. Dimension „verschmiert“ sich zur fraktalen Korrektur!

4.3 Gemeinsame Vorhersagen

Beide Formulierungen führen zu **identischen** physikalischen Vorhersagen:

Observable	4D-Formulierung	Fraktale Formulierung	Wert
ξ -Parameter	$4/30000$	$(4/3) \times 10^{-4}$	$1,333 \times 10^{-4}$
Sub-Planck-Faktor	$f = 7500$	$f = 1/(4\xi)$	7500
Feinstruktur α^{-1}	$\pi^4 \cdot \sqrt{2}$	$\pi^4 \cdot \sqrt{2}$	137,757
Higgs VEV	$E_P/(f^2 \sqrt{4\pi})$	Identisch	246,71 GeV

Tabelle 1: Identische Vorhersagen beider Formulierungen

5 Detaillierte Korrespondenzen

5.1 Energieverteilung

5.1.1 4D-Formulierung (Dokument 149)

$$E_{\text{higgs}} = \frac{E_P}{f^4} \quad (12)$$

Narrative: Die Planck-Energie verteilt sich über f^4 Zellen des vierdimensionalen Hyperwürfels.

5.1.2 Fraktale Formulierung (Dokument 145)

Skalierungsgesetz:

$$N(r) \propto r^{D_f} = r^{3-\xi} \quad (13)$$

Für große Skalen ($r \rightarrow f$):

$$N(f) \propto f^{3-\xi} \approx f^3 \cdot (1 - \xi \ln f) \approx f^3 \cdot 0,9867 \quad (14)$$

5.1.3 Verbindung

Die f^4 -Skalierung in 4D entspricht der fraktalen Korrektur in 3D:

$$f^4 = f^3 \cdot f = (\text{3D-Volumen}) \times (\text{kompakte Dimension}) \quad (15)$$

5.2 Symmetriebrechung

5.2.1 4D-Formulierung (Dokument 149)

Pentagonale Symmetriebrechung:

- Faktor: $5^4 = 625$ erscheint in $\xi = 4/30000$
- Goldener Schnitt: $\varphi = (1 + \sqrt{5})/2$
- Abweichung: $\sim 2\%$ in Observablen

5.2.2 Fraktale Formulierung (Dokument 145)

Korrekturfaktor:

$$K_{\text{frak}} = 1 - 100\xi \approx 0,9867 \quad (16)$$

Beschreibt kumulative Abweichung über viele Größenordnungen.

5.2.3 Äquivalenz

$$K_{\text{frak}} \approx 0,9867 \Leftrightarrow \text{ca. } 1,33\% \text{ Korrektur} \Leftrightarrow \sim 2\% \text{ in Observablen} \quad (17)$$

Beide beschreiben dieselbe Physik!

5.3 Sub-Planck-Struktur

5.3.1 4D-Formulierung (Dokument 149)

$$\ell_0 = \frac{\ell_P}{f} = \frac{\ell_P}{7500} \quad (18)$$

5.3.2 Fraktale Formulierung (Dokument 145)

$$\Lambda_0 = \xi \cdot \ell_P = \frac{4}{30000} \cdot \ell_P = \frac{\ell_P}{7500} \quad (19)$$

5.3.3 Ergebnis

Identische Sub-Planck-Skala

$$\Lambda_0 = \ell_0 = \frac{\ell_P}{7500} \approx 2,15 \times 10^{-39} \text{ m} \quad (20)$$

Beide Formulierungen sagen exakt dieselbe fundamentale Längenskala vorher!

6 Klärung: Keine 5-Dimensionen

6.1 Häufiges Missverständnis

Wichtige Klarstellung

Weder Dokument 149 noch 018 verwenden 5 räumliche Dimensionen!

Die Zahl „5“ erscheint in der Theorie als:

- Pentagonale Symmetrie (5-fache Rotationssymmetrie)
- Goldener Schnitt: $\varphi = (1 + \sqrt{5})/2$
- Faktor $5^4 = 625$ in der Primfaktorzerlegung von 7500

Dies bedeutet **NICHT** 5 Dimensionen, sondern 5-fache Symmetrie in 4D-Raum!

6.2 Die Rolle der pentagonalen Symmetrie

$$4\text{D-Torsionskristall} \xrightarrow{\text{Lokale Struktur}} \text{Tetraeder (4-fach)} \quad (21)$$

$$\downarrow \quad \text{Globale Symmetrie} \quad (22)$$

$$\text{Pentagon (5-fach)} \xrightarrow{\text{Inkompatibilität}} \text{Quasikristall} \quad (23)$$

$$\downarrow \quad (24)$$

$$\text{Symmetriebrechung} \Rightarrow \sim 2\% \text{ Abweichungen} \quad (25)$$

Die 5-fache Symmetrie ist **in** der 4D-Struktur eingebettet, nicht eine zusätzliche Dimension!

7 Experimentelle Konsequenzen

7.1 Identische Vorhersagen

Beide Formulierungen sagen dieselben experimentellen Tests voraus:

7.1.1 Modifiziertes Coulomb-Gesetz (aus Dokument 145)

$$F_{\text{Coulomb}} \propto \frac{1}{r^{1+\xi}} \approx \frac{1}{r^2} \cdot \left(1 - \xi \ln \frac{r}{\ell_P}\right) \quad (26)$$

7.1.2 Anomale magnetische Momente (aus Dokumenten 018, 149)

Geometrische Vorhersage:

$$a_\tau = f^{1/3} - 1 = 7500^{1/3} - 1 \approx 1,282 \times 10^{-3} \quad (27)$$

7.1.3 Higgs-Vakuumerwartungswert (aus Dokument 149)

$$v = \frac{E_P}{f^2} \cdot \frac{1}{\sqrt{4\pi}} \approx 246,71 \text{ GeV} \quad (28)$$

Experimenteller Wert: $v_{\text{exp}} = 246,22 \text{ GeV}$

Abweichung: 0,2%

7.2 Unabhängigkeit von der Formulierung

Experimentelle Äquivalenz

Alle experimentellen Vorhersagen sind **unabhängig** von der gewählten Perspektive (4D-geometrisch vs. fraktal-analytisch). Ein Experiment kann **nicht unterscheiden**, welche Formulierung „richtig“ ist – weil beide dieselbe Physik beschreiben!

8 Komplementarität der Perspektiven

8.1 Vorteile der 4D-Perspektive (Dokumente 149, 018)

Stärken:

- Intuitive geometrische Visualisierung
- Klare physikalische Interpretation (Torsion, Windungen)
- Direkte Verbindung zu Kaluza-Klein-Theorien
- Narrative Kraft für Erklärungen

Verwendung:

- Energieverteilung (f^4 -Skalierung)
- Projektionen 4D → 3D
- Topologische Überlegungen

8.2 Vorteile der fraktalen Perspektive (Dokument 145)

Stärken:

- Mathematisch präzise Skalierungsgesetze
- Direkte Verbindung zu fraktaler Geometrie
- Korrekturfaktoren für physikalische Gesetze
- Analytische Berechenbarkeit

Verwendung:

- Korrekturfaktor K_{frak}
- Modifikationen von Kraftgesetzen
- Dimensionale Analyse

8.3 Empfehlung: Beide verwenden

Optimale Strategie

Die beste Beschreibung der T0-Theorie nutzt **beide** Perspektiven komplementär:

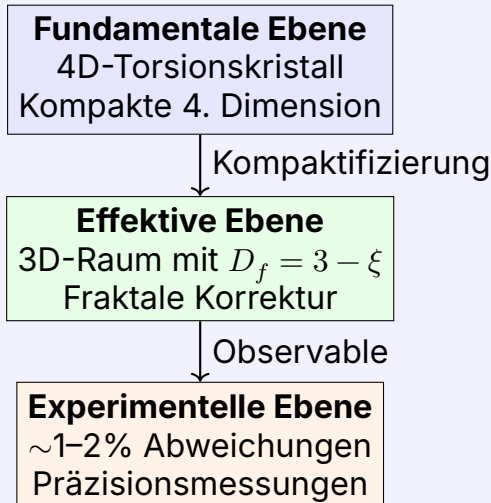
- **4D-Sicht** für intuitive geometrische Erklärungen und narrative Darstellungen
- **Fraktale Sicht** für präzise mathematische Berechnungen und analytische Ableitungen

Keine Perspektive ist „richtiger“ als die andere – sie ergänzen sich gegenseitig!

9 Fazit

Hauptergebnis

Die Formulierungen in den Dokumenten 149, 018 (4D-Torsionskristall) und 145 (fraktale Dimension $D_f = 3 - \xi$) sind vollständig kompatibel. Sie beschreiben **dasselbe physikalische Phänomen** aus zwei komplementären Perspektiven:



9.1 Schlüsselverbindung

Der Parameter $\xi = 4/30000$ vereint beide Sichten:

- **Topologisch:** 4 fundamentale Dimensionen, 3 beobachtbare
- **Fraktal:** 4/3 geometrischer Faktor (Kugelpackung)
- **Beide:** $\xi \approx 1,33 \times 10^{-4}$ – identischer Zahlenwert!

9.2 Praktische Empfehlung

Verwendung in der Praxis

Für optimale Darstellung der T0-Theorie sollten beide Perspektiven **zusammen** verwendet werden:

- Verwende die **4D-geometrische Sprache** für intuitive Erklärungen, narrative Darstellungen und konzeptionelle Diskussionen
- Verwende die **fraktale Sprache** für präzise Berechnungen, analytische Ableitungen und mathematische Rigorosität

Es gibt **keine Widersprüche** – nur komplementäre Beschreibungen derselben fundamentalen Physik!

Literaturverweise

1. Dokument 149: 149_FFGFT-torsion_De.pdf – 4D-Torsionskristall-Formulierung
2. Dokument 018: 018_T0_Anomale-g2-10_De.pdf – Anomale Momente im 4D-Gitter
3. Dokument 145: 145_FFGFT_donat-teil1_De.pdf – Fraktale Dimensionsformulierung

Alle Dokumente sind Teil des **T0-Time-Mass-Duality** Projekts: